

昭和45年度国有林野事業
特別会計林業試験成績報告書

長焦点カメラ および フォールスカラー
フィルム等の活用による林分構造の解明

昭和46年7月

林業試験場

長焦点カメラおよびフォールスカラーフィルム等 の活用による林分構造の解明

目 次

I 試験担当者	21
II 試験目的	21
III 試験の経過	21
1. 43年度	21
2. 44年度	21
3. 45年度	21
IV 試験成果の概要	22
1. 赤外カラー写真	22
2. 長焦点カメラ	24
3. 写真情報による林分解析	24
3-1 写真情報利用の原則	25
3-2 林分の写真観察要因	26
3-3 写真情報解析	27
3-4 推定と数値表の作成	30
3-5 数値写真図(写真コドラー)	44
3-6 数値表の適用と現地検討	45
3-7 空中写真利用による森林調査の体系	45
V 試験の効果	52

I 試験担当者

経営部航測研究室長

中島 嶽

室員

長谷川 訓子

◆

樋渡 幸男

◆

大貫 仁人

II 試験目的

近年急速な進歩をとげつゝある写真技術および情報解析理論等の積極的な森林調査への応用により、林分構造の解明を計り、その現況と推移の予測を効果的に把握する調査法の解明を目的とした。

III 試験の経過

1. 43年度

帯広営林局 新得営林署管内、トムラウシ天然林約8,000haを対象とし、赤外カラーフィルムによる縮尺1/10,000、および一部1/5,000による二段撮影を実施、(R.M.K. f=150mm)。層化比例抽出を基準とする現地標本調査、ステレオグラムの作成をおこない、それにもとづき

- 1.) 経営案編成資料を目的とする全域の森林資源調査
- 2.) 写真判読の数量解析による林分構成要因の検討と推定法の研究
- 3.) 上記調査地内の約1,500haを対象とする精密調査

を取りまとめた。

2. 44年度

同営林局 本別営林署管内、芽登天然林約10,000haを対象とする赤外カラーフィルムによる縮尺1/10,000、長焦点カメラ(R.M.K. f=300mm)撮影、現地標本調査、ステレオグラムの作成をおこない前年度の成果をもとにして

- 1.) トムラウシ；本別両天然林の材積、枯損量、生長量推定を目的とする写真判読要因による数値表の作成
- 2.) 上記数値表の適用、ならびに写真と現地作業との結合を計る数値写真図の作成を実施

3. 45年度

- 1.) 数値写真図の方眼区画毎に対する数値表適用による材積、枯損、成長量の推定

2) 上記推定結果の現地検討

3) これらを取りまとめて調査体系の系列化を計つた。

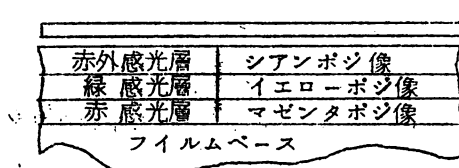
なおこの研究成果を応用した46年度以後の研究実施資料として北見営林局管内、北見、網走両営林署管内国有林のカラー写真的撮影を実施した。

IV 試験成果の概要

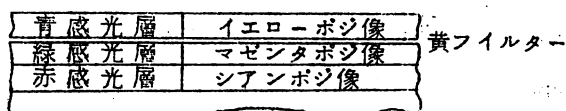
1. 赤外カラー写真

調査を目的とする写真とは調べようとするものが他と明瞭に区別されて、また細部までを表わしていることが必要であり肉眼感の再現は必要でない。

通常、活力ある植物の葉は葉緑素より反射される緑の波長(約550mμ)の光より数倍多くの近赤外領域の波長(700~800mμ)の光を反射している。



赤外線カラーフィルムの構造



天然色フィルムの構造

図1. 赤外カラーフィルム、天然色フィルムの構造

したがつてこれを捕えて発色するフォールスカラー写真……赤外カラー写真は植物の種類や分布の判定，活力差，また地表条件や土壤含水率の差等の判断に極めて適切である。

また空中散光の原因である青色光以下の波長の光をフィルター（#12, #15）によつて切り去ることによつて高空からも非常に鮮明な像がえられ、また高倍率

被写体の色	黒	赤	緑	青	イエロ	マゼンタ	シアン	白	赤外
コダツクラツテンNo.12	BGR	BGR	BGR	BGR	BGR	BGR	BGR	BGR	IR
感光層	感光層	感光層	感光層	感光層	感光層	感光層	感光層	感光層	感光層
感光	{ 緑	感	光	感	光	感	光	感	光
赤外線	赤	感	光	感	光	感	光	感	光
色像	{ シアン色像								
	イエロー色像								
	マゼンタ色像								
再現された色	黒	赤	青	黒	白	赤	青	白	赤

図2. 赤外カラーフィルムの着色

の拡大が可能である。

フォールスカラー写真は肉眼感とは全く異なつた表現力をもつものであるのでその判断には通常の白黒、または天然色写真とは違つた解釈をおこなう技術を必要とし、その使用にはこの写真による判定の可能性と、最適使用条件を十分に理解することが重要である。

赤外カラーフィルムの基本的な感光層と発色構造を「図1、図2」に示す。

すなわち、この写真の発色は色の相が肉眼感より一つづつ長波長側にずれたものであり、また近赤外線と共に可視光線内の色も感光することによつて、この両者の合成による色調を表わすものである。

植物反射光の基本特性を「図3」に示す。しかし植物は常にこの特性を有するものではなく、季節、成長状態、立地条件により多くの差異をもつものであり、また赤外カラーフィルムによる発色も現象条件とともに撮影の日時、天候、位置、高度、太陽角等により変化するものである。

このフィルムの効果は近赤外域の反射光の差を、いかに明瞭にとらえうるかに

よつて高めうるといえよう。表1. 赤外カラー写真による発色例

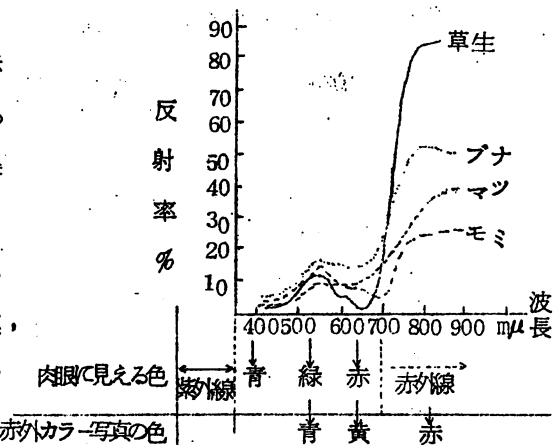


図3. 植物反射光の基本特性とカラー写真の色

被写体	肉眼感の色	赤外カラーの色
芝、地表雑草、枯れたもの 活力あるもの	黄 淡 黄 黄 冬 绿	褐 绿 褐 红 褐 绿
落葉広葉樹 枯葉 紅葉 芽葉 冬 绿	黄 ~ ~ ~ ~ ~	褐 绿 红 黄 ~ ~
常緑広葉樹 針葉樹マツ 健 虫害—変色 枯損	濃 淡 紅 ~ 淡 赤	绿 濃 晴 灰 赤 黄
スギ ヒノキ カラマロ 落葉 葉 緑	濃 ~ 淡 黄 ~ 淡 赤	绿 赤 深 淡 鮮 绿 ~ 淡
竹、ササ 湿地	淡	绿

なお森林における主要な発色例を「表1」に示す。

2. 長焦点カメラ

長焦点カメラは普通角、広角カメラに比べ同一撮影高度によつてより大縮尺写真をうることができる。またその画像は地物、地形の高低による位置ズレが少ない。

高空より大縮尺写真撮影の効果は特に低空飛行が危険を伴なう山地において極めて有効であり、また特に空中散光を除去しうる赤外カラー写真の場合に効果的である。

これは縮尺のみならず同一画面内におけるレンズ集光効果による光量分布差をいちじるしく少なくし、画面内の色調の変化を少なくする。

広角写真赤外カラーフィルムの画面内の光量分布差を濃度測定により求めたものを「図4」に示す。長焦点カメラの像は、この周辺部分を切り去つたものと見ることができる。

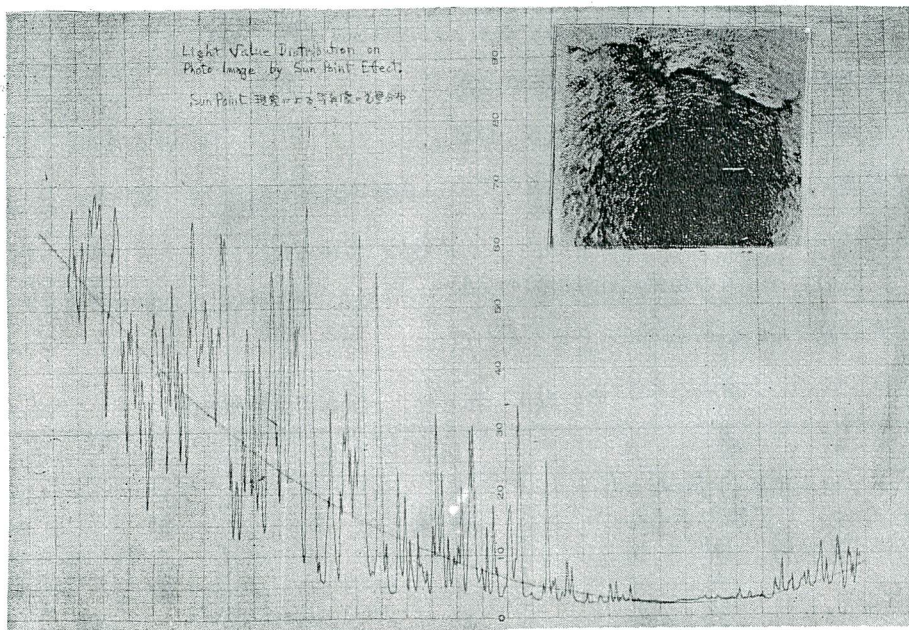


図4. サンポイントを中心とする広角カメラ写真画像の光量分布濃度測定図
(赤外カラー写真ネガフィルムより増巾作成)

3. 写真情報による林分解析

森林の現況と推移を予測するには、林木自体や生育する環境、人為条件など多くの関連する要因を解明する必要がある。空中写真の持つ豊富な情報を利用し、数量解析の手法をそれに導入することは、調査の能率と科学性を高める明らかに有効な方法である。

そのためには従来肉眼観察を基準として行なわれていた森林の測定を、肉眼とは全く異なる視野に立つた空中写真の視野での観測要因に置きかえねばならない。

写真像を中介としたとき、森林観察の要因は上空より見た林分の構造とそれをとりまく環境立地の状態である。

この観察要因が林分構造のなかで、どの様に相互に関連し、また現在森林計画立案に要求される材積量、成長量、枯損量等の推定にどのように関与するかを多変量解析によつて求め、またそれから上記のものを所要の精度をもつて推定するための数値表の作成を前記北海道天然林について実施した結果は写真像の科学的利用と写真情報解析システム開発の足掛りである。

3 - 1 写真情報利用の原則

森林は、生育する個々の立木が集合して形成する一つの生物社会である。林木は互に密接な関連を保ちながら、それらを取りまく環境との有機的な結びつきの中に盛衰を繰り返している。

過去より現在に至るまで、森林は木材生産の場として開発され管理されて來ているが、近代社会の高度な経済発展は、更に同じく生物体である人間社会の生活環境の調和と保全に対する機能をも森林の上に要求してきている。

元来、森林は、鉱物資源などとは異なり、現在から将来につながる再生産性を重視すると共に、自然と人為の操作が刻々と変動を与える動的な現象として、一時点の状態、推移の原因や過程、社会経済の中での生産価値等が求められる情報と、それに基いた計画的な経営と利用がおこなわれる必要がある。

森林は昔から人間の肉眼による観察と、頭脳による判断の尺度によつて評価され計画が立てられてきた。

それは、いわば「山にある木を人が使う」立場からの資源面を主体とした考察であつて、静止した森林の一断面をとらえる努力であるといえる。

これを有機的な生物集団として動的に見ようすれば、従来の人間の肉体的、また頭脳的な能力限界をさらに拡張したより広い視野と判断力が必要となる。

それは肉眼で見られるよりもより小さな空間と同時に、より大きな空間、すなわち「目的物をとりまく外界との有機的な関連を追求させる空間」の系統的な観察と総合的な判断力の要求である。

いわば空間を縮少、拡大し、時間を延長し短縮もする目が、そしてその目には科学的

な説得力をもつ客観的表現を可能とする手立てがなければならない。

写真は人間の観察眼の縮尺を自在にえらびうることを可能とした。また写真を仲介とすることによつて写された被写体のすべては数値判定の手法へと持ち込まれるに至つた。

従来より空中写真は林業の分野においても基本図や林型区分図の作成其他、多くの効果をあげてきている。だがそれは従来の肉眼の補助としての利用に止まつてゐる。

今日の写真の有する効果をより活用するためにはその豊富な情報を順序よくとり出すと共に、それらの関連をとき、調査目的に向つて編集する情報解析システムの適切な活用が期待されなければならない。

それによつてようやく人間の観察力と判断力は増大するといえる。

3-2 林分の写真観察要因

森林経営にとって、従来より最も基本的に要求されてきたものは、それぞれの時点における立木材積、成長量、枯損、更新、等の情報である。それに基づいて撫育や伐採の計画が立てられ評価がおこなわれてきた。

これらは社会的な森林の見方の推移いかんにかゝわらず重要なものである。

森林の現況のこれらの情報と、条件によつて変化するであろう予測の値がえられるとき、始めて具体的な諸計画が立てられる。

これらは従来、地上調査によつて求められていた。

対象地域が広大な場合には主に標本調査法が用いられ、空中写真はこのとき調査準備の林型区分図や現地調査点への誘導、確認等に用いられ、前記各主目的情報のデータは地上測定による標準地の立木の樹高、直径、本数、年輪巾、等々が用いられた。

今、写真像の観察を主体として前記の各情報を求めようとすれば、調査測定の要因はこのような肉眼観察法に準拠するものとは多くの異なつたものが主体となつてくるはずである。それは写真条件によつても異なるものではあるが、根本的には視界とする空間の相異である。

そこでは個々の立木の値よりも、それら相互の関係や、森林としての総体的な値、また生育地域の地形、環境が有力な観察要因である。地上調査でも森林測定の要因は情報を引き出す為の一次要素であるので常であるとき、従来しばしば試みられたことではあるが写真利用でそれと同じものを推定しようと努力することは不得策であろう。

空中写真像として森林が記録されているものは上空より見た森林の構造と生育地の状態であることからはそれから直接目的とする情報を引き出す関連を求めることが写真

利用を効果的にしうるものである。

写真により森林を整理分類する要因については、従来より林型区分を対象として行なわれてきたが、更にそれを有機的に見ようとする時には多くの人為と自然による立地条件の要因が加わる。

これらのうち社会経済的なものを除いて森林自体と立地条件のみを取り上げた場合、写真上の観察要因は本調査の例において「表2」の要因の如くなろう。この表においての区分（カテゴリー）は約1/20,000空中写真による場合である。

このような区分は写真観測によつて何等高度な機械や技術を用いず、全く基礎的な技術でおこなうことができ、かつ判定の誤りがもつとも少なくてすむような粗さを考慮したものである。第1の樹種群から、4.の径級構成までは天然林において特に複雑に出現するものであり、樹種群は地域によつて異なる。

なお樹冠直徑、又は樹冠面積は写真上、上層木については測定可能であるが、一齊林形、或いは熱帯林地方等の如くに上層木が比較的均一な状態にあるときは適正な要因であり、測定の難易さを考えて、また他の要因との相関を検討した上で採用すべきである。

要因5～7までは従来の林型区分基準と同じである。8.の疎密度型は特に森林被害や表土荒廃に関連して明らかな表れ方をとる。

9.～13.はいずれも林木の生長に直接間接に影響をもつ立地条件であり、微気象、降水量、土性等もこれらと密接な関連をもつ、14.の地床は主に天然林の更新、造林、撲育に大きな関連をもつが、多くの場合に問題となるのはササの被覆である。

樹冠が地上を完全におおつている場合は、赤外カラー写真でもその局地の地床判定は不能であるのでこの要因は推定しうる場合に限られる。

3-3 写真情報解析

写真観測要因の値が標本地の資料や系統的に編集されたステレオグラムによつて求められれば、それらは各要因間の相互の関連性と、各種の推定目的に対してそれらがどの様な重要さで関与しているかを多変量解析の手法を応用して求めることができる。

それは推定すべき目的の基準値に対して夫々の要因の各区分を変数として推定の誤差を最小にするような多次元の連立方程式を解くことである。

この場合、外的基準と呼ばれる推定目的の基準値は数量で表わされたものであるが、各カテゴリーの表現には、写真測定により直接数量として求めうるものもあるが、質的な表現で表わされるものもある。この試験において実施した写真観測の場合ではその観

Items and Category for Forest Type Classification of Natural Forest in Hokkaido
 写真林型区分要因 (北海道天然林判読基準)

photo scale 1/2 000

要 因 (Item)	区 分 (Category)
1 樹 積 群 (tree sp.)	N=s, N+r, N=t, NL, L
2 混 交 割 合 (mix %)	N, N>L, N/L, LN, L
3 混 交 形 (mix type)	均等 (U), 塊状 (G), 団状 (H)
4 径 級 構 成 (mix Type Composition)	小径木 (Y), 中径木 (B), 大径木 (O) およびその組合せ
5 上層木平均樹高階 (Av. Hight of Dominant T.)	~10m(H ₁), 11~18(H ₂), 19~25(H ₃)
6 上 層 木 本 数 (No. of Dominant T.)	少 (few), 中 (med), 大 (many)
7 樹 冠 碳 密 度 (Crown Density)	散 (Vo), 疏 (O), 中 (M), 密 (D)
8 碳 密 度 形 (Density Type)	均等 (U), 塊状 (G), 团状 (H)
9 標 高 (Altitude)	0~99, 100~199, 200~299, 300~
10 方 位 (Azimuth)	0, N, NE, E, SE, S, SW, W, NW
11 傾 斜 (Tilt)	0~9°, 10~19°, 20~29°, 30~
12 地 形 (Land type)	山頂 (Top), 台地 (Terres), 平衡 (Smooth), 凸, 凹, 浸蝕 (Eroded), 推積 (Piled)
13 位 置 (Position)	尾根 (Ridge), 中腹(上) (Side U), 中腹(下) (Side L), 沢 (Botum)
14 地 床 (Ground flora)	ササ (Sasa), 雜灌 (Bush), 無 (Non)
	Total [67]

表 2. 北海道天然林写真観測要因

Ordering and Partial-Correlation Coefficient of Photo-Observation
 Factors for Some Estimation on Natural Forest in Hokkaido

写真判読要因の推定に関する順位と偏相関

順位 (Order)	A. ト ム ラ ウ シ 原 生 林 (Tomuraushi Virgin Forest)						B. 本 别 天 然 林 (Honbetsu Natural Forest)					
	立 木 材 積 St. Volume		枯 捨 量 St. Inferior		生 長 量 St. Growth		立 木 材 積 St. Volume		枯 捨 量 St. Inferior		成 長 量 St. Growth	
	要 因 Items	偏 相 関 Per. Co.	要 因 Items	偏 相 関 Per. Co.	要 因 Items	偏 相 関 Per. Co.	要 因 Items	偏 相 関 Per. Co.	要 因 Items	偏 相 関 Per. Co.	要 因 Items	偏 相 関 Per. Co.
1	大径木本数(4) (No. of Dominant)	0.562	標 高(5) (Altitude)	0.506	混 交 形(5) (Mix Type)	0.749	大径木本数(4) (No. of D.)	0.738	標 高(6) (Altitude)	0.368	混 交 形(7) (Mix Type)	0.704
2	局所地形(6) (Land Type)	0.492	傾 斜(4) (Tilt)	0.410	局 所 地 形(6) (Land Type)	0.503	樹 高 構 成(8) (Composition)	0.651	方 位(9) (Azimuth)	0.326	樹 冠 碳 密 度(3) (Crown Density)	0.545
3	径 級 構 成(5) (Stand Composition)	0.285	方 位(9) (Azimuth)	0.426	樹 冠 碳 密 度(3) (Crown Density)	0.489	樹 冠 碳 密 度(3) (Crown Density)	0.636	樹 高 構 成(8) (Composition)	0.274	樹 高 構 成(8) (Composition)	0.497
4	樹 冠 碳 密 度(3) (Crown Density)	0.602	位 置(4) (Position)	0.211	位 置(4) (Position)	0.382	混 交 形(3) (Mix Type)	0.311	混 交 形(7) (Mix Type)	0.262	大径木本数(4) (No. of D.)	0.414
5	標 高(5) (Altitude)	0.332	混 交 形(5) (Mix Type)	0.194	大径木本数(3) (No. of D.)	0.297	方 位(9) (Azimuth)	0.304	局 所 地 形(5) (Land Type)	0.218	方 位(9) (Azimuth)	0.329
6	位 置(4) (Position)	0.294	樹 高 階(3) (Height class)	0.129	方 位(9) (Azimuth)	0.287	標 高(6) (Altitude)	0.236	樹 冠 碳 密 度(4) (Crown Density)	0.186	傾 斜(4) (Tilt)	0.202
7	樹 高 階(3) (Height Class)	0.364	径 級 構 成(5) (Stand Comp.)	0.292	傾 斜(4) (Tilt)	0.279	位 置(4) (Position)	0(193)	傾 斜(4) (Tilt)	0.108	標 高(6) (Altitude)	0.213
8	混 交 形(5) (Mix Type)	0.314	径 級 構 成(5) (Composition)	0.270	局 所 地 形(5) (Land Type)	0.171	位 置(4) (Position)	0.137	位 置(4) (Position)	0.137		
N	168		168		168		167		167		167	
要因 Items	8	(26)	7	(26)	10	(26)	8	(16)	8	(16)	7	(16)
カテゴリ Category	35	(83)	35	(89)	47	(89)	46	(81)	46	(81)	41	(81)
重相関 R	0.894	[0.948]	0.648	[0.784]	0.899	[0.974]	0.920	[0.974]	0.600	[0.626]	0.854	[0.892]

表 3. ト ム ラ ウ シ , 本 別 , 要 因 別 偏 相 関 表

表4 トムラウシ要因内部相関

Inner Correlation Matrix for Volume Estimation

(トムラウシ)エゾ・トド天然林 Tomuraushi Natural forest

Item	要因間の単相関 Simple Corelation Coefficient								単相関(材積) Y Simple Corr.Coe.
	X ₁	X ₂	X ₃	X ₄	X ₅	X ₆	X ₇	X ₈	
大径木本数 X ₁ No. of Dominant	1.000								0.711
局所地形 X ₂ Land Type	0.042	1.000							0.268
径級混交状況 X ₃ Stand Composition	0.145	-0.087	1.000						0.220
樹冠疎密度 X ₄ Crown Density	0.452	0.052	0.009	1.000					0.603
標高 X ₅ Altitude	-0.003	-0.137	-0.241	0.073	1.000				0.093
位置 X ₆ Position	-0.054	-0.249	0.034	-0.107	0.046	1.000			0.029
樹高階 X ₇ Height Class	0.381	0.050	0.280	0.055	-0.120	-0.007	1.000		0.467
針広混交割合と状況 X ₈ Mixture Type	0.323	0.139	0.110	0.133	-0.062	0.018	0.377	1.000	0.463

表5. 本別要因内部相関

Honbetu Natural Forest

	要因間の単相関単相関 Simple Correlation Coefficient					Volume (材積) Y Simple Corr.Coe.
	X ₁	X ₂	X ₃	X ₄	X ₅	
樹冠疎密度 (X ₁) Crown Density	1.000					0.419
樹高階 (X ₂) Height Class	-0.096	1.000				0.606
大径木本数 (X ₃) No. of Dominant T.	0.235	0.436	1.000			0.757
傾斜 (X ₄) Tilt	0.095	-0.089	0.090	1.000		0.106
植生状況 (X ₅) Ground Flor	0.173	0.141	0.040	0.038	1.000	0.292

測値を推定目的に妥当な ような巾に類型化し区分したのである。

この多変量解析の手法は、各要因を一度に計算過程に加えるのではなく、一つづつ加重しては推定計算を繰り返してゆくことによつて各要因相互の関連は内部相関係数として表わされると同時に、夫々の要因の外的基準への関与性は個々の偏相関係数として、また夫々の場合の全体推定の精度は重相関係数または推定値の標準偏差によつて求められる。「表3」は要因が調査の一時点の材積、成長量、枯損量の推定目的に対してどのような重要さで関与しているかを上記の偏相関係数の値を参考に上位より順に、トムラウシ 本別について示した。

両者ともにエゾマツ、トドマツを主林木とする天然林であるが、トムラウシは全くの原始林であり、本別はかつて択伐によつて人為作業の加わつた林であり、両者の要因の関与性は全く異なる様子が見られる。

例えばトムラウシは本別に比べ、すべての調査目的にはるかに自然環境要因の関与する点が大きく、材積推定のために第一の大径木の本数の多小の次には局所地形の観察が大切であり、従来考えられていた樹高階の重要度ははるか下位となる。

一方本別の林においては樹高階は樹冠の疎密度に次ぐ大切な観察要因である。

これらの差はそれぞれの森林の成立過程による構造の差によつて特長づけられる特性であり調査に当つてはその森林では何をしらべることが効果的であるかを示すものである。「表4」「表5」は各要因間相互の内部相関係数を示す。

トムラウシ森林においては、各要因は大径木本数(X_1)と樹冠疎密度(X_4)樹高階(X_7)の間に当然ながら関係が見られる以外はほとんど数値的に独立である。

3 - 4 推定と数値表の作成

解析によつて求められた要因の関与性と相互の関連は、それが不偏性のあるものである限りそれぞれの森林の構成の特性を示すものである。

それらは推定目的として与えられた外的基準を最も誤差が少なく予測出来るように各カテゴリーに数量を与えた場合の結果である。したがつてこの値は外的基準が変つた場合に偏相関係数が異なるのは当然であるが、内部相関の値も異なつてくるものである。

またこの計算手法においては、同一外的基準に対しても、計算に加える要因の順、カテゴリー区分の違いによつて偏相関係数の値自体が変化するものである。

この内部相関係数、偏相関係数は相対的な参考数値として有効に用いられる。

したがつて内部相関の高い値をもつ要因については測定の難易、精度等を参考にいづ

れか一方をえらぶべきであろうし、また外的基準を異にした場合、他との関連が著しく異なる不安定な要因は不偏性について疑問が生じる。なお同一外的基準に対しても演算に加える要因の順序を変えたとき、偏相関係数が大きく変動するものについても、計算上の仮定を満しえないものともいえよう。しかし、このようなことがあつても一時点では森林の材積の推定する場合、写真上からどのような要因を測れば最もよい推定値がえられるかが大切なことである。

したがつて、たとえ写真像に現われる森林観測の要因が常識的に森林の生成過程や環境要因との間に相互関係があるものであつてもこれらの相互関連が明らかに数値上認められない場合にはこの両者を要因として用いてもよいであろう。事実上、写真上に記録された森林像の要因と環境要因との間には数値的な関連性が極めて少ないと内部相関係数によつて知られる。

写真像を仲介としたとき、森林要因と環境要因はいづれも同等な観察要因として検討されうるものである。

なお外的基準に対して関与性の少ない要因は測定の能率と、それを加えることによつて生ずる効果との検討により取捨選択されねばならない。

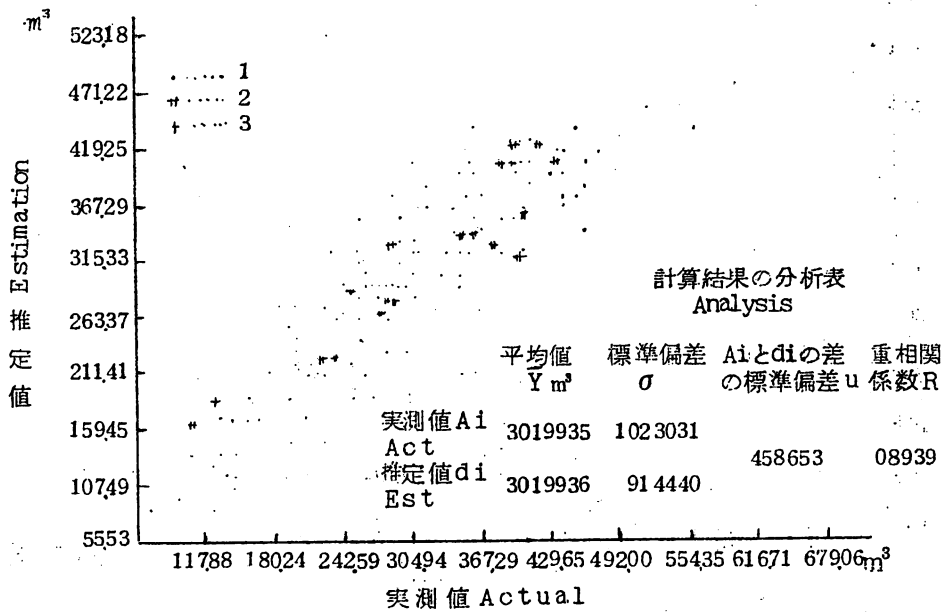


図5-1. 第2次要因による実測値と推定値の比較図 (材積)

Actual and estimated stand volume by selected items.

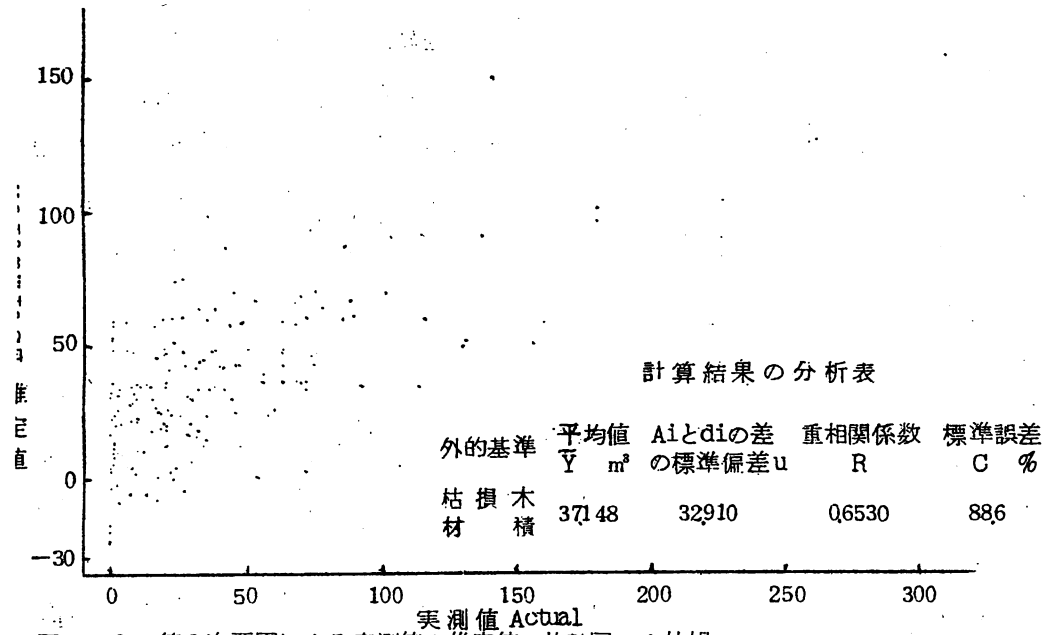


図 5 - 2. 第2次要因による実測値と推定値の比較図（枯損）

Actual and estimated inferior volume by selected items.

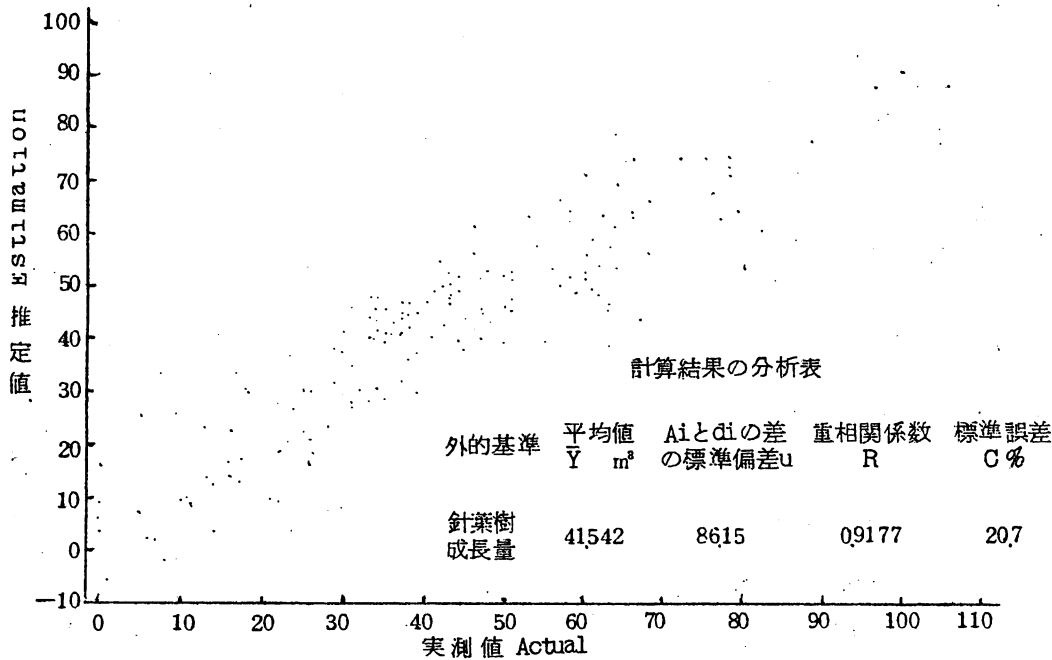


図 5 - 3. 第2次要因による実測値と推定値の比較図（成長量）

Actual and estimated increment volume by selected items.

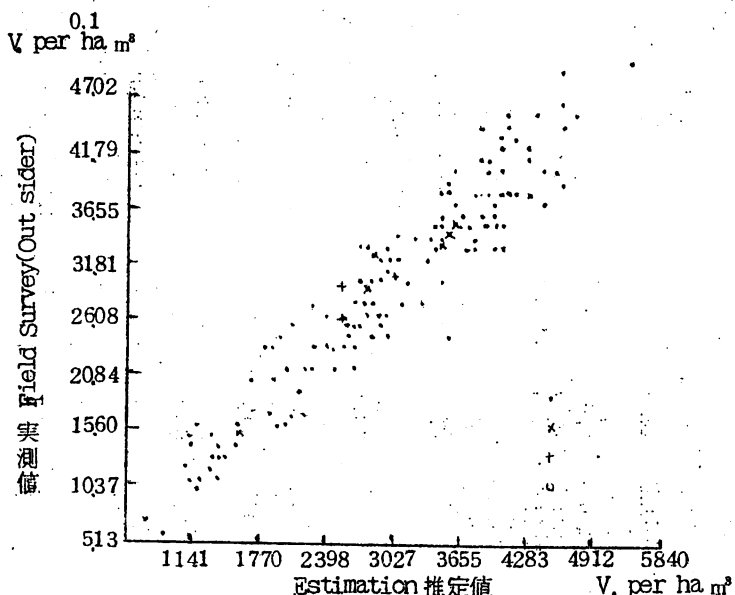


図 6-1 材積推定 Volume Estimation(Tomuraushi) 0.1

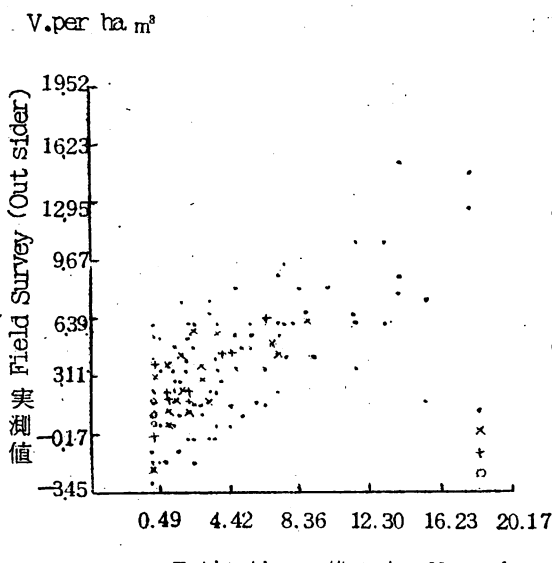


図 6-2 枯損量推定 Inferior Estimation
(Tomuraushi)

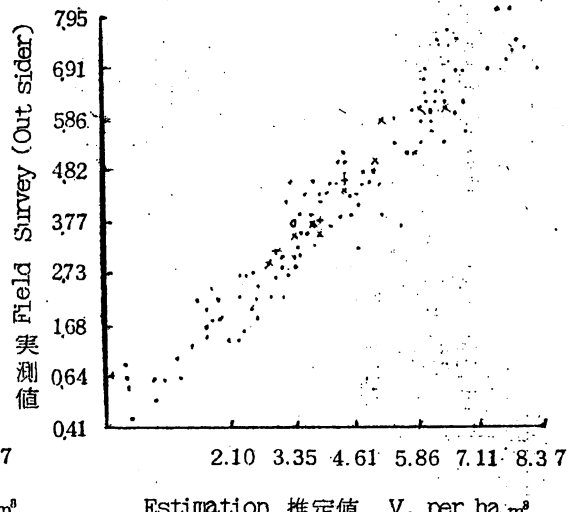


図 6-3 生長量推定 Growth Estimation
(Tomurashi)

図 6. 本別 林分推定値と実測値比較

表6-2. トムラウシ枯損数値表

要因項目	要因カテゴリー	反応個数	X ₁	X ₂	X ₃	X ₄	X ₅	X ₆	X ₇	X ₈	レンジ	偏相関係数	平均値	偏差
標高	~599	1	13429	10347	2179	-20180	-20788	-20205	25654	42326				
	~699	2	22316	22633	12349	-11164	-12650	-12066	38465	40244	83977	0506	67274	
	~799	3	26326	26436	22892	1057	0.762	1460	48655	57995				
	~899	4	38672	43392	36356	15.915	15717	16354	63.176	71583				
	900~	5	69120	72917	77811	71354	67654	68516	114896	124221				
傾斜	平	1	0.	0.	0.	0.	0.	0.	0.	0.				
	緩	2	-15643	-59457	-56405	-64561	-64597	-58761	-66799	66799	0410	-37306		
	中	3	-2471	-39660	-35488	-43147	-43134	-38332	-47568					
	急	4	4314	-31822	-29113	-34549	-34690	-27412	-34857					
方位	N	1	0.	0.	0.	0.	0.	0.	0.	0.				
	N	2	20653	17500	24063	23969	13822	19333						
	E	3	22775	14698	23168	22389	18662	23462						
	NE	4	22967	22841	32225	32055	18943	26817						
	EE	5	69560	66772	71893	71949	66341	74187	74187	0426	34.996			
	S	6	64.970	58164	63250	63296	51031	55696						
	SE	7	28177	23439	29126	29240	17058	20254						
	SW	8	51.560	47146	51256	51355	43646	49633						
	WW	9	47651	46386	51461	51551	39796	45578						
位置	峰	1	0.	0.	0.	0.	0.	0.	0.	0.				
	上	2					30.076	31331	31240	18501	23250	23250	0211	16.623
	下	3					21.806	25.343	25.309	17672	20852			
	谷	4					24.778	25.889	25.857	19877	22390			
針広混交	N	1	0.	0.	0.	0.	0.	0.	0.	0.				
	N	2	-9400	-9542	-10394	-12765								
	L	3	13.964	13772	1883	2766								
	g	4	17.768	17616	12855	15.620								
	b	5	-7956	-8330	-7977	-7401								
樹高	~1.8	1					0.	0.	0.					
	~2.1	2					-0.809	-2.352	-12.320	12320	0129	-6280		
	2.2~	3					-0.332	3270	-6520					
疎密度	疎	1					0.	0.						
	中	2					-46932	-48080	48080	0292	-26830			
	密	3					-33399	-32409						
径級混交	O	1					0.							
	O	2					3569							
	B	3					-3362	32.524	0212	-11116				
	Y	4					-28.955							
	Y	5					-26.833							
重相関係数			0.363	.0392	0.542	0.577	0.600	0.600	0.631	0.648				
要因群偏相関係数				0.159	0.407	0.235	0.201	0.	0.244	0.190				

表6-3 トムラウシ(生長)

要因項目	要因カテゴリー	反応個数	X ₁	X ₂	X ₃	X ₄	X ₅	X ₆	X ₇	X ₈	X ₉	X ₁₀	レンジ	偏相関係数	平均値	偏差
針交 広葉 混合	N	1	53415	67483	46642	38960	39312	34278	33156	27678	35135	44900				
	NLg	2	34385	49870	31309	23011	23037	18923	17977	11592	17712	26139				
	NLu	3	28875	42617	27385	22810	23143	20805	18025	13062	19220	28727	38863	0.749	27630	
	NLb	4	32200	48992	31891	25370	25789	22759	21317	15982	22325	32349				
	L	5	10280	26133	8655	2.052	2.322	-1168	-4199	-8998	-4161	6.037				
局所地形	山頂	1	0.	0.	0.	0.	0.	0.	0.	0.	0.	0.				
	山腹{平	2	-12.629	-10072	-13.754	-13.939	-15.951	-19.321	-18.168	-16.823	-18.247					
	凹	3	-14369	-13.129	-17.543	-17.578	-20.511	-24.327	-23.324	-22.171	-23.428					
	低平地	4	-18001	-14.976	-17.961	-17.859	-19.212	-23.678	-22.823	-21.828	-23.553					
	台地	5	-19364	-17.560	-22.338	-22.420	-23.287	-17.640	-20.961	-22.661	-24.745					
	疊	6	-18575	-14.668	-17.679	-17.895	-20.265	-18.695	-17.168	-17.423	-17.749					
疊密度	散	1	0.	0.	0.	0.	0.	0.	0.	0.	0.	0.				
	中	2	6949	14126	14059	17555	16282	15020	13172	12512	23922	0.489	12145			
	密	3	22908	29687	29218	32620	31479	27420	25545	23922						
位置	峰	1	0.	0.	0.	0.	0.	0.	0.	0.	0.	0.				
	上	2	12.764	12.570	13.128	12.630	10.772	10.519	9.606							
	下	3	11.64	12.48	0.494	-1.711	-1.617	-1.870	-2.889							
	谷	4	4.664	4.602	3.738	1.528	1.755	1.524	0.310							
木本径数	0~75	1				0.	0.	0.	0.	0.	0.	0.				
	76~150	2				-0.484	-0.463	1.129	6.547	8.458	8.385	12.268	12.268	0.297	6884	
	151~	3				11.18	2.192	3.000	10.084	12.228	12.268					
方位	無	1				0.	0.	0.	0.	0.	0.	0.				
	N	2				-6.310	-16.251	-7.277	-5.704	-2.577						
	N.E	3				0.040	-12.759	-4.339	-1.579	0.763						
	E	4				6.364	-4.848	0.967	2.827	5.459						
	S.E	5				28.58	-5.750	0.809	3.510	4.977						
	S	6				6.266	-4.872	2.942	5.002	6.900						
	S.W	7				6.230	-6.225	2.643	4.700	5.980						
	W	8				40.91	-6.516	1.439	3.459	5.079						
	N.W	9				4.337	-4.938	1.786	3.711	5.866						
傾斜	平	1				0.	0.	0.	0.	0.	0.	0.				
	緩	2				11.915	55.95	29.31	11.14							
	中	3				14.796	85.86	5.171	3.719							
	急	4				21.375	14.069	9.982	8.239							
径交級状混況	O.O	1						0.	0.	0.	0.	0.				
	O.B	2						4.083	25.36	26.55						
	O.Y	3						5.833	3.722	14.64						
	O.B.Y	4						6.722	3.507	16.34						
	B.Y	5						21.851	19.208	19.854						
樹高	0~18m	1							0.	0.	0.	0.				
	19~21	2							-6.277	-5.927	7.133	0.175	-4353			
	22~	3							-7.493	-7.133						
標高	0~599	1								0.	0.	0.				
	600~699	2								-66.69						
	700~799	3								-67.12	9.747	0.172	-5970			
	800~899	4								-6.721						
	900~	5								-9.747						
重相関係数			0.736	0.764	0.842	0.861	0.862	0.877	0.886	0.895	0.898	0.899				
要因群偏相関係数			0.303	0.549	0.333	0.082	0.319	0.262	0.273	0.164	0.096					

表 7-1. 本別(材積)数値表

要因項目	要因カテゴリー	反応個数	X ₁	X ₂	X ₃	X ₄	X ₅	
大本 径 木数	0~50 51~100 101~150 151~	1 2 3 4	131.357 211.918 311.943 425.154	70.667 123.378 218.956 324.467	-55.857 -20.767 55.206 148.884	17.356 52.719 123.842 209.944	6.703 42.021 112.971 200.821	
樹 高	1 1.2(2.1)(1.3) 2 2.3 2.4(4.2) 3.2 3 3.4(4.3)(4)	1 2 3 4 5 6 7 8	0. 18.444 81.483 68.809 228.763 72.628 95.349 164.123	23.425 105.334 105.072 252.919 109.589 134.177 228.575	8.259, 90.806 93.714 227.679 89.721 106.049 184.006	0.339 82.975 86.732 226.863 82.662 96.853 176.996		
疎 密度	散 疎 中 密	1 2 3 4			0. 64.760 82.841 148.364	0. 57.039 76.977 139.970	0. 62.164 85.638 150.464	
針 広 混 交 割 合	Nエ Nエト Nト NL NL LN L	1 2 3 4 5 6 7				0. -39.078 -52.219 -40.779 -69.164 -60.627 -78.104	0. -34.688 -44.249 -32.638 -63.389 -52.395 -76.702	
方 位	無 N NE E SE S SW W NW	1 2 3 4 5 6 7 8 9					0. 25.498 -15.275 11.530 23.491 10.697 -20.162 1.033 -3.527	
標 高	0~599m 600~699 700~799 800~899 900~999 1000~	1 2 3 4 5 6						
位 置	峰 上 下 谷	1 2 3 4						
局 所 地 形	山頂 山腹 { 凸 平 凹 低平地	1 2 3 4 5						
傾 斜	平 緩 中 急	1 2 3 4						
重相関係数			0.784	0.836	0.893	0.905	0.913	
要因群偏相関係数			0.468	0.572	0.326	0.283		

	X ₆	X ₇	X ₈	X ₉	レンジ	偏相関係数	平均値	偏 差
	-6.305 28.764 101.988 186.522	-14.849 19.446 93.443 181.831	-27.957 7.942 81.607 173.740	-27.886 7.974 80.219 170.482	198.368	0.738	57.697	
	0. 9.141 95.873 98.246 238.278 96.093 109.806 185.497	0. 16.619 103.957 103.996 243.884 103.342 116.861 192.558	0. 19.754 108.427 106.925 242.048 108.173 119.837 200.409	0. 23.609 113.775 110.845 243.622 112.572 122.971 203.273	243.622	0.651	116.333	
	0. 55.763 80.558 143.053	0. 58.176 81.230 143.054	0. 53.182 77.937 140.375	0. 55.963 81.842 144.284	144.284	0.636	70.522	
	0. -31.719 -40.547 -28.842 -60.866 -50.783 -71.633	0. -28.260 -39.065 -23.965 -58.324 -45.372 -69.447	0. -22.663 -32.168 -16.172 -47.845 -34.669 -62.704	0. -24.775 -33.799 -17.566 -50.511 -35.930 -65.573	65.573	0.311	-32.593	
	0. 28.308 -18.725 7.328 22.611 7.754 -13.813 45.23 -0.931	0. 31.355 -14.330 14.120 26.817 8.286 -9.557 7.593 4.158	0. 32.509 -10.251 15.950 32.213 11.470 6.287 15.305 14.200	0. 301.16 -15.810 9.329 26.196 7.721 -11.873 10.624 9.492	45.926	0.304	73.10	
	0. 7.121 -7.036 7.312 17.766 -21.296	0. 11.610 -3.905 13.034 18.648 -21.377	0. 14.016 -5.403 14.938 20.887 -23.133	0. 14.808 -3.490 14.779 20.911 -24.573	45.484	0.236	3.739	
		0. -17.612 -16.891 -2.822	0. -19.811 -20.538 -3.618	0. -21.095 -25.983 -10.654	25.983	0.193	-14.433	
			0. 7.617 -9.729 8.389 4.311	0. 11.923 -7.246 8.686 6.024	19.169	0.171	3.877	
				0. 4.388 4.974 -6.177	11.151	0.104	0.796	
	0.916	0.918	0.920	0.920				
	0.182	0.151	0.153	0.				

表一、各割合と偏相関係数

要因項目	要因カテゴリー	反応個数	X ₁	X ₂	X ₃	X ₄	X ₅	X ₆	X ₇	X ₈	レンジ	偏相関係数	平均値	偏差
標高	0~599m	1	32957	45384	-1070	26015	39563	44112	38608	28.084	64225	0368	40979	
	600~699	2	22864	41231	-3.106	25789	36708	38514	33889	22629				
	700~799	3	21531	38601	-7.788	19000	29034	30123	26552	16379				
	800~899	4	45379	67891	20.763	49339	59517	63621	60163	48648				
	900~999	5	43667	64545	20420	45554	55858	56553	54021	49532				
	1000~	6	57667	86252	43359	72330	78819	84076	82588	80604				
方位	無N	1	0.	0.	0.	0.	0.	0.	0.	0.	58875	0326	-39438	
	N	2	-7054	-4906	-7.787	38640	-35328	-23118	-22395	-				
	N E	3	-15142	-15573	-22.725	55771	-52500	-43009	-43608	-				
	E	4	-40464	-37130	-41113	71031	-67406	-57956	-58875	-				
	S E	5	-1985	-0735	-13635	44958	-47169	-36102	-34283	-				
	S	6	-28742	-30776	-39527	70925	-70834	-58488	-53144	-				
	S W	7	-25633	-18472	-26089	54672	-54267	-44288	-43888	-				
	W	8	-31382	-28382	-36109	65898	-65227	-54993	-54570	-				
	N W	9	-22199	-22352	-27822	56858	-55321	-44571	-44183	-				
樹高	1	1	0.	0.	0.	0.	0.	0.	0.	0.	105.037	0.274	49.344	
	12(21)(13)	2	44673	43042	54324	50320	54112	51666	51329	45820				
	2	3	36798	35735	48105	47215	51329	52093	57528	52093				
	23	4	40464	43571	59429	53875	57528	52093	57528	52093				
	2.4(4.2)	5	108435	98173	108430	109639	111821	105.037	105.037	105.037				
	3.2	6	45123	38334	52140	50868	53295	46917	46917	46917				
	3	7	54871	43011	58351	57854	58817	51199	51199	51199				
	3.4(4.3)(4)	8	54331	36724	47066	46353	47487	42021	42021	42021				
針広混交割合	N E	1	0.	0.	0.	0.	0.	0.	0.	0.	34554	0262	-18499	
	N { Nエト	2	-9446	-10557	-12083	-12313	-10762	-	-	-				
	N T	3	-17629	-18984	-20898	-20893	-19238	-	-	-				
	N L	4	-23487	-22926	-24783	-24236	-24289	-	-	-				
	N L	5	-34109	-32610	-34863	-35491	-34554	-	-	-				
	L N	6	-17444	-16023	-21487	-20571	-22320	-	-	-				
	L	7	-21879	-20104	-19398	-19450	-18328	-	-	-				
局所地形	山頂	1	0.	0.	0.	0.	0.	0.	0.	0.	486.68	0.218	-1.645	
	山腹	2	17764	16904	19185	16.657	2185	2875	486.68	0.218				
	平凹	3	3513	4597	4597	4255	5840	4255	2185	2185				
	低平地	4	5.740	5841	5841	5.740	32849	32880	31752	32011				
	平地	5	-11.199	-19.948	-19.948	-19.948	-	-	-	-				
疎密度	散疎中密	1	0.	0.	0.	0.	17.939	19.659	23.414	23.414	0186	7.18		
	中密	2	-5.719	-3.291	-3.291	-11.54	-	-	-	-				
	密	3	-11.199	0.948	0.948	5.502	-	-	-	-				
	中密	4	-	-	-	-	-	-	-	-				
傾斜	平緩	1	0.	0.	0.	0.	-11.210	-12.668	19.850	19.850	0108	-11.078		
	緩急	2	-10.228	-11.792	-11.792	-11.792	-	-	-	-				
	急	3	-18.729	-19.850	-19.850	-19.850	-	-	-	-				
	平	4	-	-	-	-	-	-	-	-				
位置	峰上	1	0.	0.	0.	0.	19.881	19.881	0.137	11.104				
	谷下	2	12.026	12.026	12.026	12.026	-	-	-	-				
	谷上	3	12.510	12.510	12.510	12.510	-	-	-	-				
	谷谷	4	-	-	-	-	-	-	-	-				
重相関係数			0257	0375	0466	0499	0526	0547	0552	0559				
要因群偏相関係数			0283	0298	0202	0192	0176	0089	0106					

表7-3. 本別(生長量)数値表

要因項目	要因カテゴリー	反応個数	X ₁	X ₂	X ₃	X ₄	X ₅	X ₆	X ₇	レンジ	偏相關係数	平均値	偏差		
針 広 混合割合	N { Nエト Nト	1 2 3	7184 6188 5935	4460 3041 2960	2930 1081 1060	2513 1159 1122	2617 1420 1630	2693 1517 1732	2289 1108 1329	5.796	0.704	-0.288			
	NL	4	4.770	1.818	0.087	0.032	0.443	0.505	0.167						
	NL	5	2.788	0.279	-1.695	-1.863	-1.481	-1.378	-1.731						
	LN	6	1.587	-0.220	-1.842	-1.834	-1.508	-1.289	-1.672						
	L	7	0.622	-2.443	-3.607	-3.490	-3.499	-3.334	-3.507						
	疎 密度		1 2 3 4	0. 1089 2091 3846	0. 1418 2187 4170	0. 1824 2356 3.996	0. 1915 2640 4323	0. 1721 2408 4070	0. 1566 2314 3913						
	樹 高		1 1.2(2.1)(1.3) 2 2.3 2.4(4.2) 3.2 3 3.4(4.3)(4)	1 2 3 4 5 6 7 8	0. 0.413 2.118 1.716 4.676 1559 0.876 1.927	0. 0.481 2.067 1.352 4.133 0.735 -0.158 0.883	0. 0.027 1.575 0.884 3914 0.221 -0.756 0.460	0. 0.126 1.635 0.982 4.093 0.333 -0.678 0.712	0. 0.434 2.093 1.375 4.483 0.821 -0.226 1.016						
大本 径 木数	0~50 51~100 101~150 151~	1 2 3 4				0. 0.060 1.459 2.943	0. 0.089 1.440 2.187	0. 0.068 1.462 2.276	0. 0.110 1.538 2.204	2.204	0.414	0.963			
	方 位		無 N E S S SW W NW	1 2 3 4 5 6 7 8 9			0. 0.270 -0.632 -0.108 0.919 -0.002 -0.0918 -1.224 0.158 -0.472	0. -0.701 -1.532 -1.090 -0.033 -0.024 -0.931 -2.124 -0.763 -1.309	0. -0.659 -1.622 -1.237 -0.024 -0.910						
	傾 斜		平 緩 中 急	1 2 3 4				0. 0.558 0.625 1.115 1.133 0.971 1.015	0. 0.554 1.133 0.202 0.693						
	標 高		0~599m 600~699 700~799 800~899 900~999 1000~	1 2 3 4 5 6				0. 0.033 -0.243 0.032 0.430 -1.287							
重相関係数				0.678	0.772	0.808	0.828	0.846	0.848	0.854					
要因群偏相關係数				0.502	0.375	0.307	0.310	0.109	0.191						

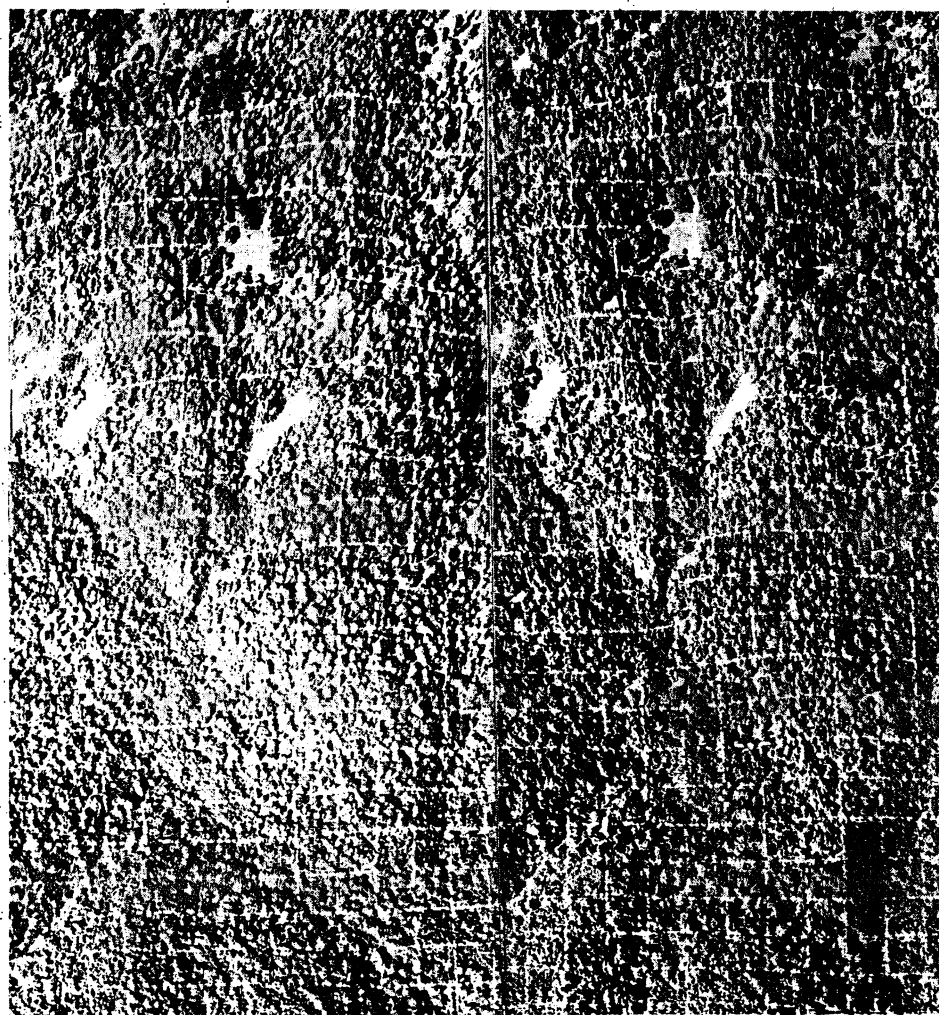


図 7 数値写真図 例
(本別 62林班 40m方眼)

李別 (材積)

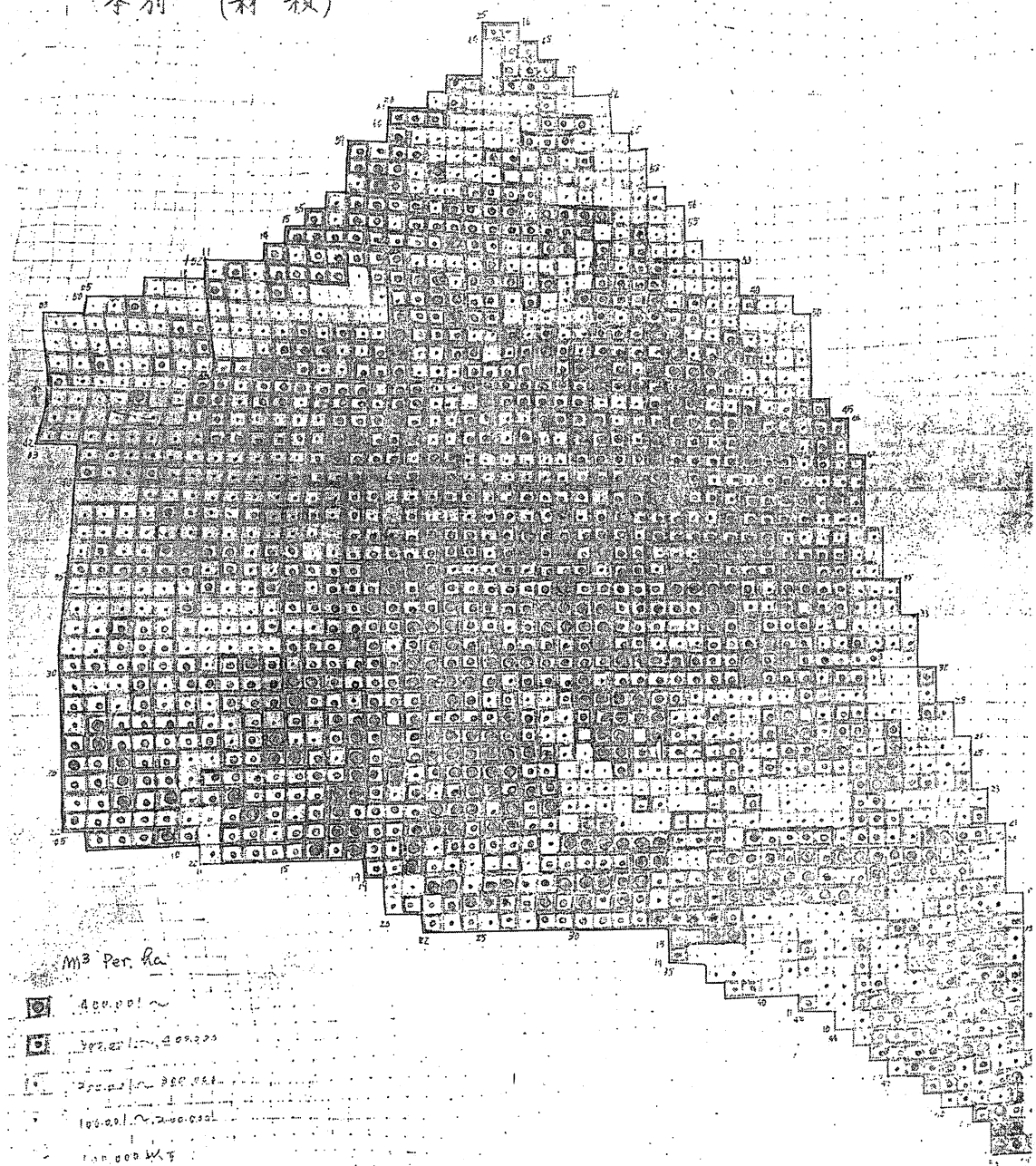
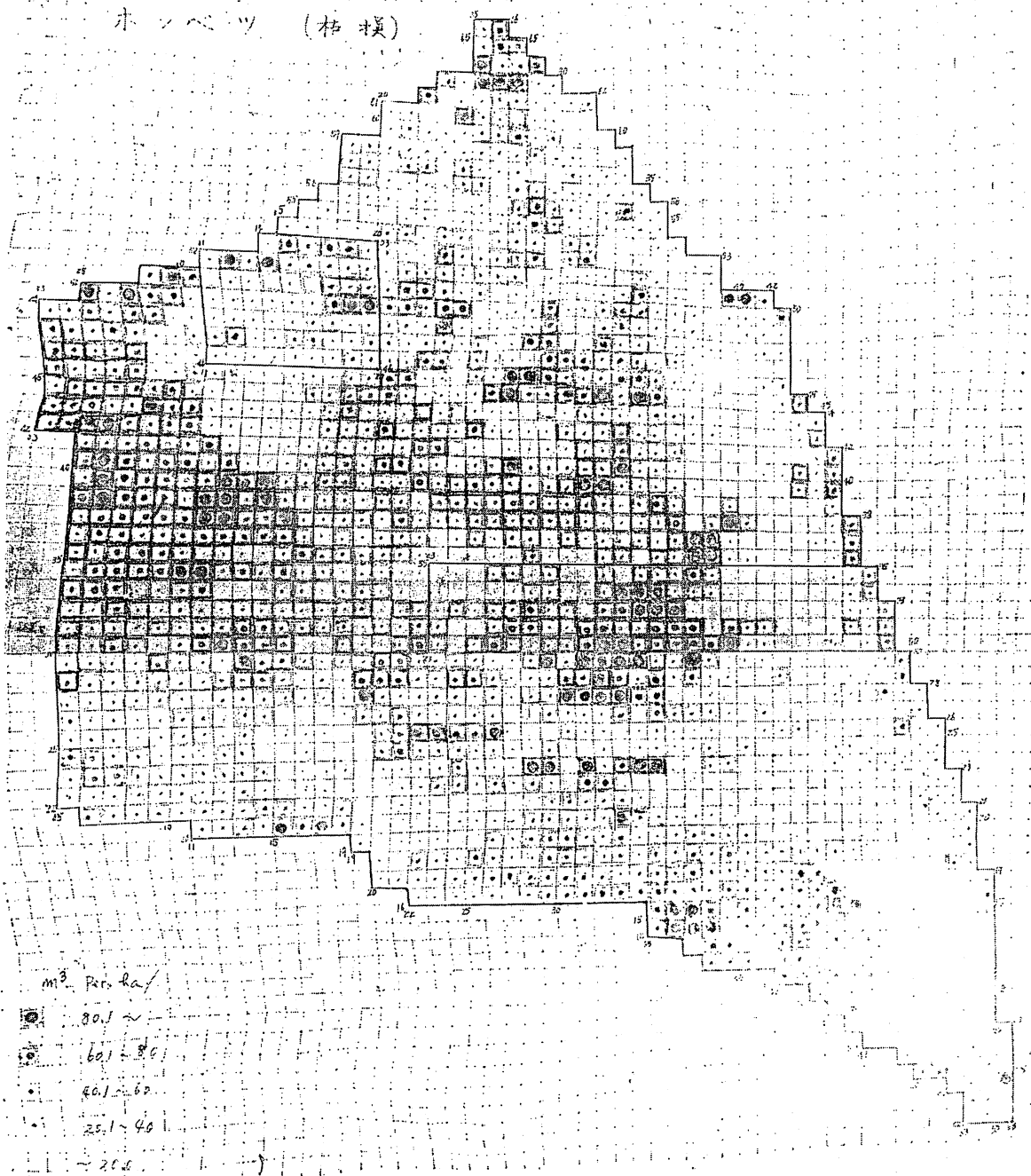


図 8-1 本別・6乙林班 株積分布推定図

ホンベツ (格模)



② 8-2 本割 62 林班 柏後山森林資源圖

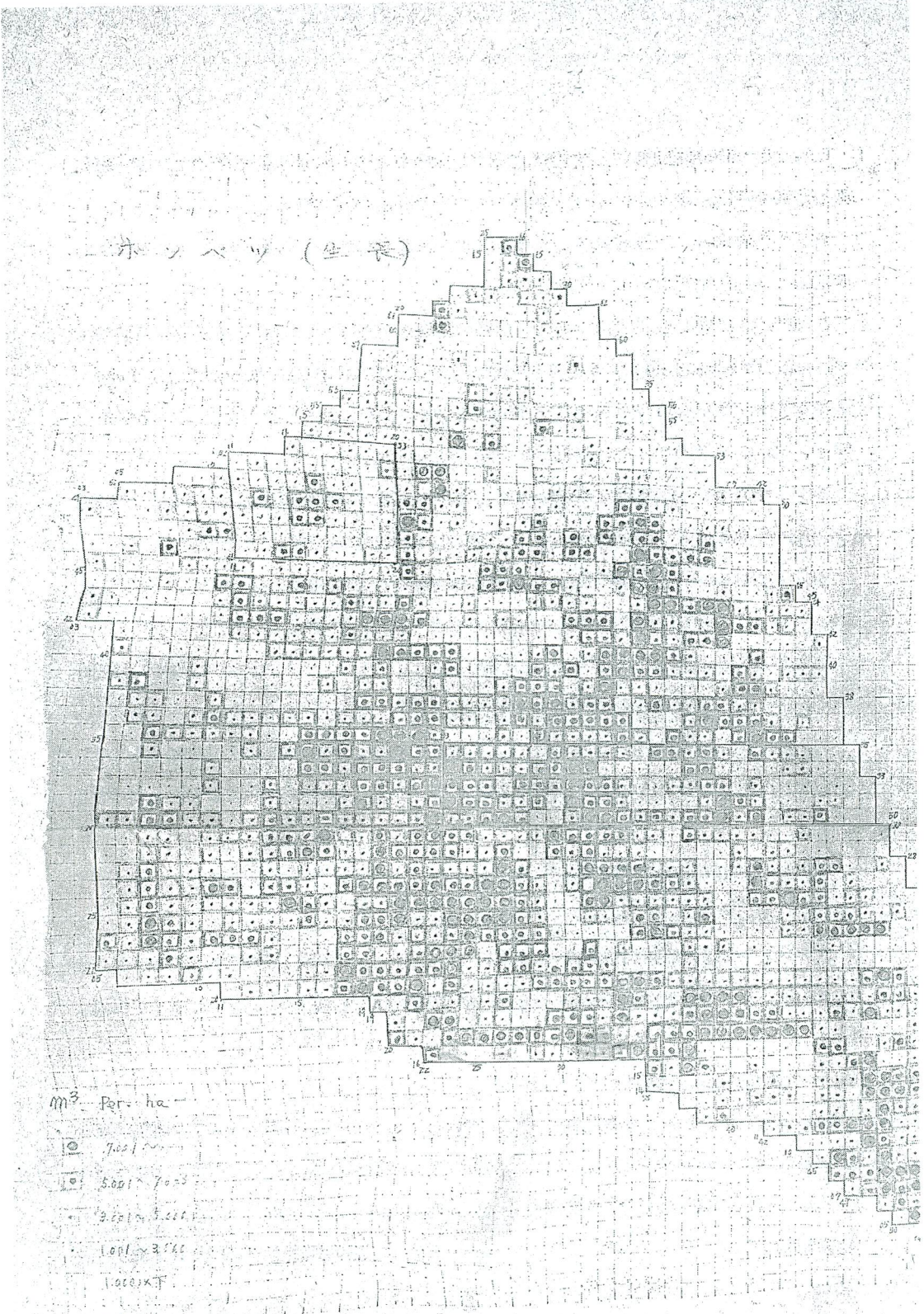


图 8-3 本别 62 林班 生长量分布推定图

それぞれの推定目的に対して適切な要因と順序が求められた場合、各カテゴリー毎に最も適切な点数が与えられ、その集計によつて予測値が得られる。

トムラウシ森林、本別森林での材積、枯損、成長量についての実測値（外的基準）と推定値との比較図を「図5、図6」に示す。

この推定は材積、成長量については所要の精度が得られているが、枯損量の推定精度は十分でないのは「図5、6」に見られるように天然林においては少なくとも7m³/ha程度の枯損は観測要因に関係なく全面的に過去より累積、また自然発生している結果であり、推定の対象にならない存在があつたと思われる。

なお全要因を用いた推定の結果は前記、解析の段階において既に算出される。更に要因の選択と順位を改めた場合は新しい点数表が作成されなければならない。

選ばれた要因とその順序で最もよい予測値を得るために各カテゴリーに与えられた点数（スコア）を要因の加算順に表示したものが予測点数表である「表6」「表7」。

この表は写真により区分された林型区画、またはクオドラート区画内の森林の各観察要因、カテゴリーに該当する点数を集計すれば目的とする予測値がえられるものである。

この際、用いた要因が多い程精度のよくなることは、下行の重相関が増加することによつて知られるので必要な精度と観測の能率によつて、いくつの要因までをとるかを定めうる。

要因群偏相関係数は上行の要因を加えることによつて高めうる効果であり、また予測の精度は推定値の残差分散の値によつて知られる。

このような点数表は写真観察のみから個々の林分ごとの現況の推定を可能とする。また要因のパターンが変化した場合の林分の状況の変化が数値的に予測することが可能となる。

3-5 数値写真図（写真コードラート）

現地と写真像、またその測定値の完全な結合を計るために、平面図上に方眼網を形成する数値図の方眼点を写真像上に設定したものを「数値写真図」と名付けた。すなわちこの写真対は立体視すれば立体模像の上に方眼網をかぶせた状態があらわれ、またその各方眼点はX、Y、Zの値が求められているものであり、同時に各コードラートは最大傾斜角、傾斜方位、平均標高が算出されている。（図7）

この作成は、1. 当概地域の数値地図の作成 2. その方眼座標（X、Y、Z）をそれぞれの写真座標（x、y）に変換、透明フィルム上に展開 3. ひずみ修正を行なつた

写真上にこの透明フィルム展開図を重ね焼，の過程によつて完成する。

本試験において作成したコードラートはトムラウシ計627個 本別1826個で各
40×40mメッシュ、前者は5本のベルト状に、後者は62林班全域について作成し
た。

3 - 6. 数値表の適用と現地検討

数値写真図により作成された各コードラートの写真像の観測、および地況要因の数値
により、夫々の区画毎に数値表を適用、材積、枯損、成長量の推定を行なつた。この作
業は電子計算機によつて行なわれ、結果は一覧表としてタイプアウトされる。例「表」。
またこれは階層区分された分布として表わすことが出来る「図8」。

この推定の結果を現地検討し地上測定値との比較を行つた結果を「図9」に示す。こ
の検討はトムラウシ18個、本別12個のコードラートについて実施した。

この結果は推定は従来の標本調査値の局地適用結果に比べ著しく満足すべき値を示
している。

特に材積値は実測と推定の間に高い相関を示した。これを本別、トムラウシを混みと
して見た計算では次の如くである。

$$N = 31$$

ΣX^2	3826936.802556	α^2	711.080581
ΣX	10658.525	S_{yx}	4.7869372
ΣY^2	3693843.043445	S_y	0.66194
Y	10534.727	誤差率	13.93%
ΣXY	3745074.057942		
b	0.757848		
a	79.264012		
r	0.904896		

これは元来地上測定法が材積測定には適確さをもち、枯損、成長量測定等はそれに比
べるかに変動の多い測定法であることをも示しているものである。

3 - 7. 空中写真利用による森林調査の体系

森林調査には総括的な計画立案を目的とする情報収集と同時に、個々の林地での施業
に必要な資料収集の目的を満さねばならぬものもある。森林調査にとつてこの両者では
調査必要事項も、また要求される情報の詳細性も大きく異なるのが通常である。

Fig. 9-1. 標準地 現地調査，予測値 トムラウシ

Field survey and Estimation of Sample plot.

(Tomuraushi)

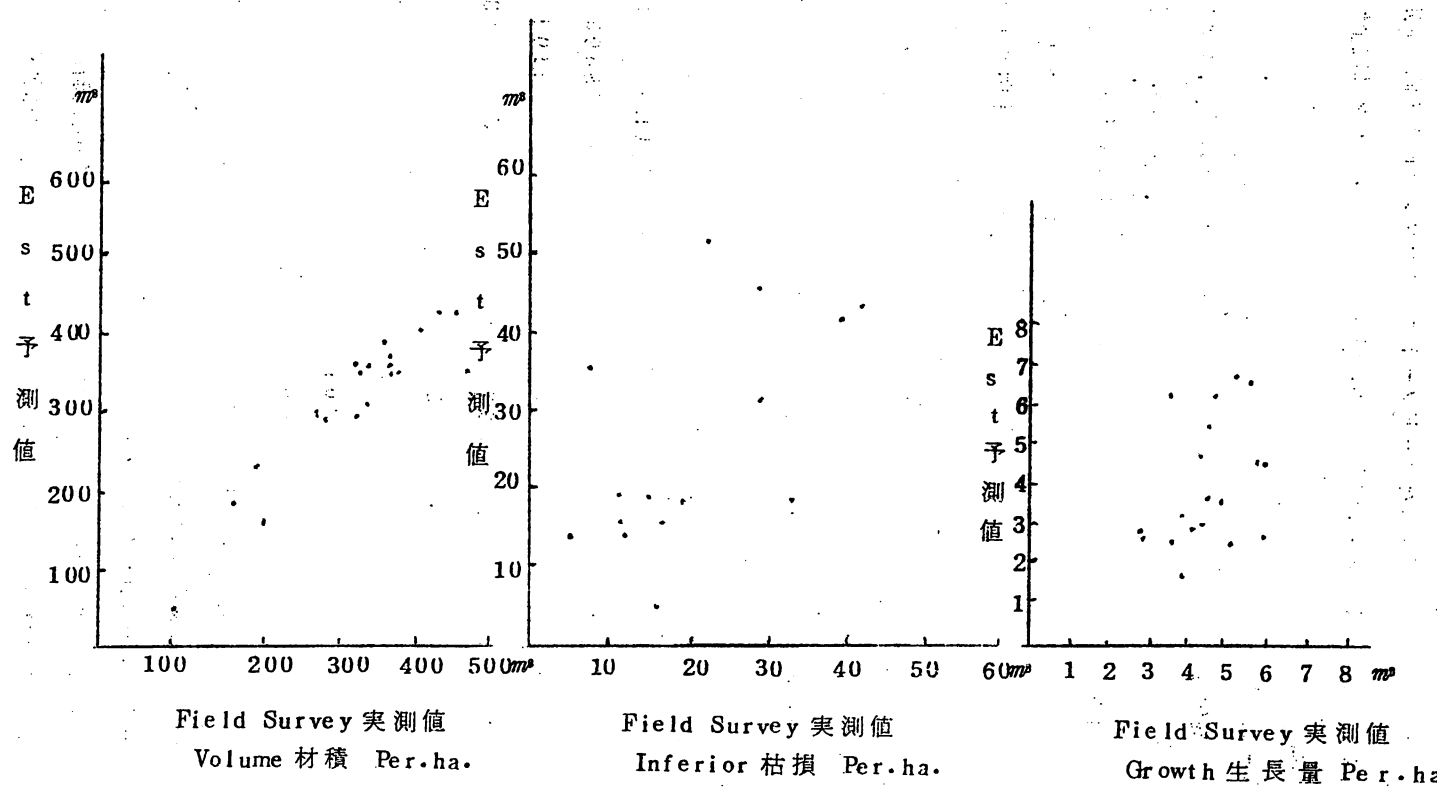


図 9 - 2. Field survey and Estimation of Sample plot

(Honbetu)

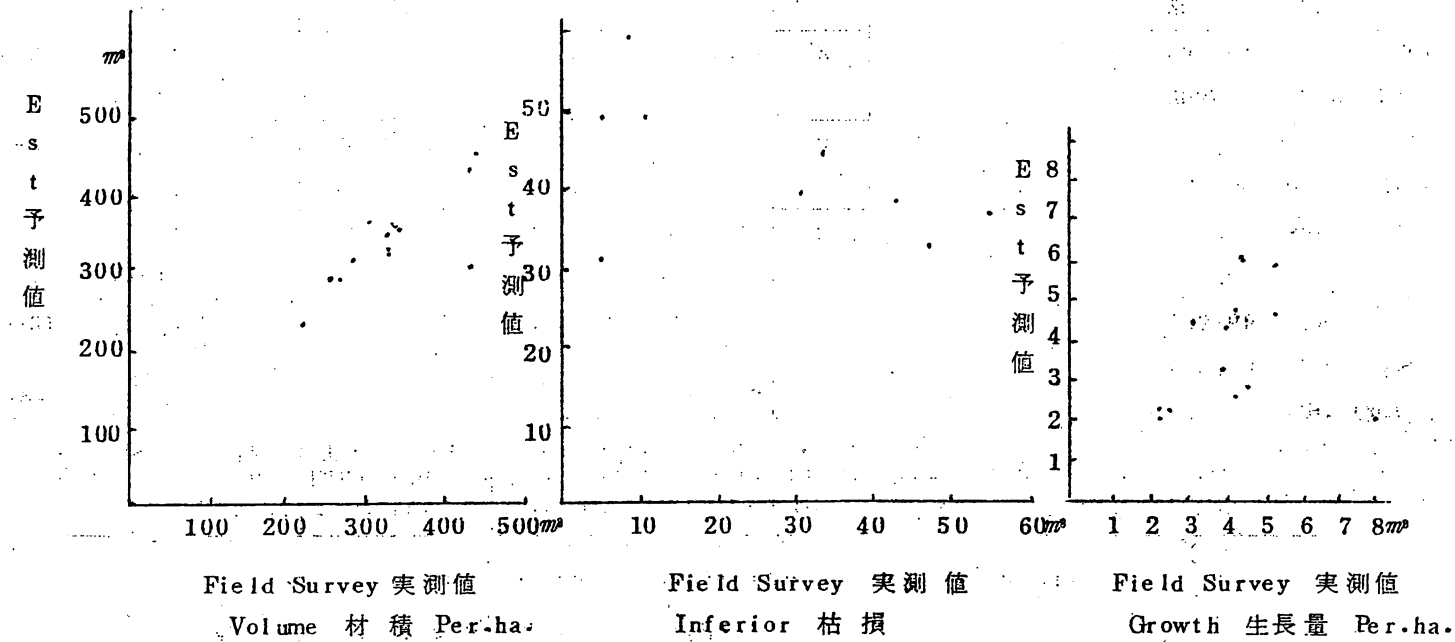


表8 標準地 現地調査，予測値比較表

Field survey and Estimation of sample plots (40x40m)

Plot No.		Item	本数 No. of Tree	地形 Land Type	径級構成 Compo- si- ti.	疎密度 Den- sity	標高 Altitude	位置 Position	樹高階 Height C.	混交型 Mix- ture	方位 Azimu- th	傾斜 Tilt	立木材積 Volume	枯損量 Infe- rior	生長量 Growth	Per ha.
		測 量 予測 Est.														
1 (30-21)	Field Est.	2	3	4	2	5	2	3	4	4	3	280.744	64438	3.889		
												295868	58.785	3335		
2 (30-22)	Field Est.	2	3	2	3	4	2	3	3	7	2	461681	16.375	5.700		
												433381	18692	4716		
3 (30-23)	Field Est.	2	2	4	1	5	1	3	1	6	3	329.794	20250	3.866		
												294001	96874	1730		
4 (30-24)	Field Est.	1	2	2	2	4	2	2	2	6	2	203.044	12188	2.710		
												230267	14134	2803		
5 (30-25)	Field Est.	2	4	2	2	4	1	2	1	5	2	283.525	31938	4397		
												299440	19140	2996		
6 (30-26)	Field Est.	1	3	4	2	4	2	1	2	5	2	191.744	30625	2860		
												181047	31652	2.683		
7 (30-27)	Field Est.	2	2	2	2	4	2	2	4	6	2	478.319	5119	5822		
												348246	14134	2803		
8 (30-28)	Field Est.	2	3	2	3	4	2	3	3	7	2	443531	12056	5.729		
												433381	15692	4.716		

9 (30-29)	Field Est.	3	2	2	3	4	1	1	2	6	2	328113 363743	12056 18875	4374 4802	
10 (31-27)	Field Est.	2	2	2	2	5	1	3	1	6	2	390650 348609	29344 46136	4629 3750	
11 (31-28)	Field Est.	2	2	2	2	5	1	3	2	7	2	291094 292653	40000 42265	3641 2594	
12 (31-29)	Field Est.	2	1	5	3	5	1	1	2	1	1	378025 360396	21988 52210	5508 6855	
13 Est.	Field Est.	2	1	1	3	4	1	1	2	6	2	319781 307563	18375 15306	3534 6360	位置ズレの タメ判読
14 Est.	Field Est.	3	2	2	2	5	1	3	2	7	2	381656 375437	42063 42265	4804 2594	〃
15 (34-29)	Field Est.	3	3	4	2	5	2	2	4	4	2	376375 392546	0.750 24023	4346 3050	
16 (35-29)	Field Est.	2	1	2	2	5	1	3	1	6	2	338738 354875	40688 46135	4557 5574	
17 (35-30)	Field Est.	2	1	3	3	4	2	3	2	4	3	382469 354443	19125 19196	5291 6872	
18 (33-29)	Field Est.	3	3	4	2	5	2	2	4	4	2	414519 404907	7152 35754	4889 3731	
19 (32-29)	Field Est.	2	1	5	3	5	1	1	2	1	3	347513 360396	16119 4650	4583 6484	

表 8

(本別 Honbetsu)

Plot No.	Item	本数 No. of Tree	地形 Land Type	樹高 Tree Height	疎密度 Dens i- ty	標高 Alt i- tude	位置 Pos i- tion	混交型 Mix- ture	方位 Azi- muth	傾斜 Tilt	Volum	Infer- ior	Growth	Per ha. m ³
1 (42-35)	Field Est.	2	4	8	3	4	4	2	5	3	296519 319504	43375 38224	4428 4753	
2 (41-36)	Field Est.	2	2	8	3	4	4	3	5	3	265450 288896	31731 39361	4702 2850	
3 (37-37)	Field Est.	3	4	8	4	4	4	2	3	3	436835 394916	47875 32984	4587 6177	
4 (37-36)	Field Est.	2	4	8	3	4	4	3	5	2	277469 287973	62875 52419	2623 2392	
5 (36-36)	Field Est.	2	3	8	2	4	3	3	5	3	223119 229419	92125 48355	2428 2102	
6 (36-37)	Field Est.	2	3	8	4	4	3	3	5	3	331038 317740	5875 30443	3385 4449	
7 (35-37)	Field Est.	2	2	8	4	4	4	3	2	2	339606 355572	53313 81057	3990 3306	
8 (35-36)	Field Est.	2	3	8	4	4	4	2	9	2	347000 348724	71563 55.752	4405 4554	

たとえ同一対象地域について調べるものであつても、異なる目的への調査を同時に、また両者を平等に満しうる方法は、それぞれの効率より見て、また実際の作業上からも極めて困難であるといえよう。

それは、この両者が対象とする空間を異にする拡がりにあるからである。

従来より総括的調査のためには主として標本調査法が適用されているが、この調査結果を同時に局地的に適用できるまでにしようとする時には多くの不合理が生じてくる。

それは標本調査法そのものが限られた労力、経費の範囲内で対象とする母集団について効率よく物を調べ、その答の信頼できる程度を明らかにしておく調査法であるからで、母集団、すなわち調査対象の拡がりの大小にかゝわらず、精度は基本的には標本の数、すなわち経費、労力に帰因するものあり、写真による層化や二重抽出、あるいはプロック抽出法等のいろいろの適用手段があるとしてもそれはそのなかで実施上の能率化を計つているにすぎない。

調査結果の上に局地的な詳細性を更に高めようとすれば、必然的に工程と経費の面からこの調査法適用の原則を破ることになることが多い。

従つて、母集団、すなわち空間を異にする調査にはそれぞれの設計が必要となる。

ただ、ここで気付かねばならぬことは、この結論をもたらした従来の調査法が、肉眼によつて森林を観察し測定する空間視野を基準として設計され検討されたものであることである。

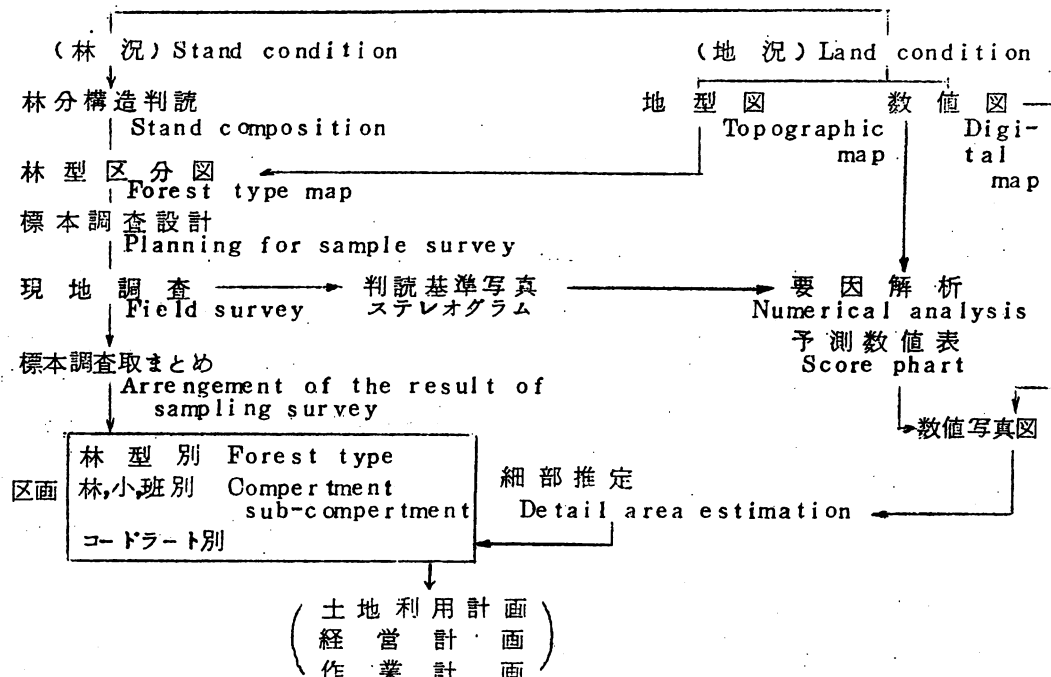
現在要望されている森林調査への空中写真の利用は、まず、写真の持つ自在な空間、それを仲介とすることによつて被写体の客觀的な数値の求められることを十分に活用することを基本として設計し従来の調査法における障害を除くことを計つた体系で組立てる必要がある。

写真が森林調査の上で發揮しうる効果を要約すれば、まず森林の整理分類であり、次には写真像の効果的活用による森林の数量的取扱いである。

これらによる森林の資源調査、経営案編成等を目的とする最も一般的な調査の体系は現状にあつては次の如くであろう。

- 1) 写真観測による林分構造を主体とした林型区分
- 2) 林型の基準写真(ステレオグラム)資料の整備、および標本調査資料のための現地調査
- 3) 標本調査による総括取まとめ

表10. 森林調査体系模式図 Forest survey system
空中写真撮影



- 4) 林況要因と地況要因の写真観測値による林分構造の解析
- 5) 要因解析結果に基づく材積、成長量、枯損、更新 等調査目的項目の予測数値表の作成
- 6) ステレオグラム数値表による森林生産力の現況と推移の細部推定

この区画単位には林小班等の管理区画、林型区画の他に、コードラートの適用が考えられる。これを模式図に示すと「図10」の如くである。

V 試験の効果

空中写真利用技術の開発によって、我々は地物の観測の目盛、対象とする空間を目的に応じて荒くも細かくもえらぶことができ、また映像として捕える光線を肉眼で見える範囲だけでなく、最適なものを用いて記録することができ、なお写真像を仲介とすることによつて撮されたものすべてを客観的な数値にかえて情報解析が可能となる手法を明らかにした。

これらは森林調査のみならず、他のあらゆる分野における観測方法を著しく近代化し、効率を高めるものであると共に、今後における遠隔検査の基礎研究をなすものである。

なお森林調査の細目についてはなお更新条件の予測、あるいは時間函数の導入、映像機械判定の実用化等への多くの問題を残している。